

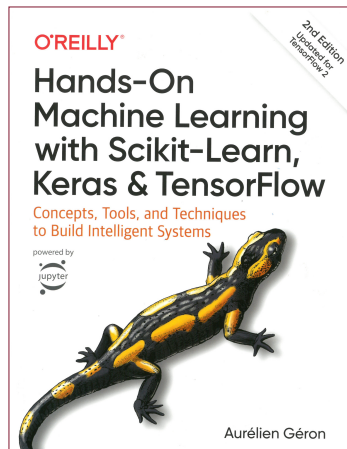
Deep Learning mit Python

Neuronale Netzwerke I

Fabian Gieseke & Moritz Seiler

Department of Information Systems
University of Münster

Heutiger Plan



Literatur

Aurélien Géron. *Hands-On Machine Learning with Scikit-Learn, Keras, and TensorFlow*, 2nd edition, 2019. Kapitel 10: Seiten 279–308 ([Gér19]).

Übersicht

1 Perzeptron

2 Mehrschichtiges Perzeptron

3 Implementation in Keras

4 Zusammenfassung

Übersicht

1 Perzeptron

2 Mehrschichtiges Perzeptron

3 Implementation in Keras

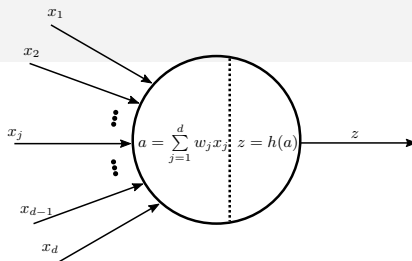
4 Zusammenfassung

Biologisches Neuronales Netzwerk



Bild: Santiago Ramon y Cajal (public domain); https://en.wikipedia.org/wiki/Cerebral_cortex

Perzeptron



Künstliches Neuron

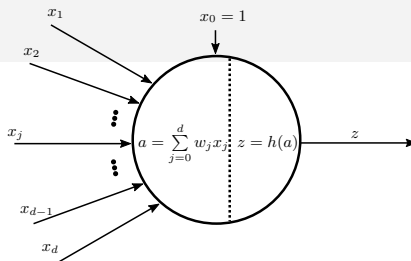
- **Eingabe:** Merkmalsvektoren der Form $\mathbf{x} = [x_1, \dots, x_d]^T \in \mathbb{R}^d$
- **Gewichte:** Jeder Eingabewert x_j wird mit einem Gewicht w_j multipliziert, d.h.:

$$a = \sum_{j=1}^d w_j x_j$$

- **Stufenfunktion:** Anschließend wird eine Stufenfunktion h angewendet. Z.B.:

$$h(a) = \begin{cases} 0, & \text{falls } a \leq 0 \\ 1, & \text{falls } a > 0 \end{cases}$$

Perzeptron



Künstliches Neuron (mit impliziten Bias-Gewicht)

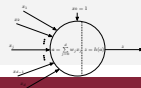
- **Eingabe:** Merkmalsvektoren der Form $\mathbf{x} = [x_1, \dots, x_d]^T \in \mathbb{R}^d$
- **Gewichte:** Jeder Eingabewert x_j wird mit einem Gewicht w_j multipliziert, d.h.:

$$a = \sum_{j=0}^d w_j x_j$$

- **Stufenfunktion:** Anschließend wird eine Stufenfunktion h angewendet. Z.B.:

$$h(a) = \begin{cases} 0, & \text{falls } a \leq 0 \\ 1, & \text{falls } a > 0 \end{cases}$$

Perzeptron: Training

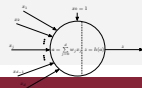


Perzeptron-Algorithmus

Require: Let $T = \{(\mathbf{x}_1, y_1), \dots, (\mathbf{x}_n, y_n)\} \subset \mathbb{R}^d \times \{0, 1\}$ be the training set and $\eta > 0$.

- 1: Initialize the weights w_0, w_1, \dots, w_d with small random values.
- 2: **repeat**
- 3: **for** each training example $(\mathbf{x}_i, y_i) \in T$ **do**
- 4: Compute the predicted output $\hat{y}_i = h(a_i) = h(\sum_{j=0}^d w_j x_{i,j})$
- 5: **for** $j = 0, \dots, d$ **do**
- 6: Update weight $w_j \leftarrow w_j + \eta(y_i - \hat{y}_i)x_{i,j}$
- 7: **end for**
- 8: **end for**
- 9: **until** no mistakes are made anymore

Perzeptron: Training



Perzeptron-Algorithmus

Require: Let $T = \{(\mathbf{x}_1, y_1), \dots, (\mathbf{x}_n, y_n)\} \subset \mathbb{R}^d \times \{0, 1\}$ be the training set and $\eta > 0$.

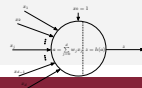
- 1: Initialize the weights w_0, w_1, \dots, w_d with small random values.
- 2: **repeat**
- 3: **for** each training example $(\mathbf{x}_i, y_i) \in T$ **do**
- 4: Compute the predicted output $\hat{y}_i = h(a_i) = h(\sum_{j=0}^d w_j x_{i,j})$
- 5: **for** $j = 0, \dots, d$ **do**
- 6: Update weight $w_j \leftarrow w_j + \eta(y_i - \hat{y}_i)x_{i,j}$
- 7: **end for**
- 8: **end for**
- 9: **until** no mistakes are made anymore

■ Die Gewichte w_0, w_1, \dots, w_d werden angepasst, falls Vorhersage falsch war:

- 1 $y_i = 1$ und $\hat{y}_i = 0$: **Vergrößere** $a_i = \sum_{j=0}^d w_j x_{i,j}$, indem alle w_j mit $x_{i,j} > 0$ vergrößert und alle w_j mit $x_{i,j} < 0$ verkleinert werden.
- 2 $y_i = 0$ und $\hat{y}_i = 1$: **Verkleinere** $a_i = \sum_{j=0}^d w_j x_{i,j}$, indem alle w_j mit $x_{i,j} > 0$ verkleinert und alle w_j mit $x_{i,j} < 0$ vergrößert werden.

■ Der Parameter $\eta > 0$ wird **Lernrate** genannt (z.B. $\eta = 0.1$)

Perzeptron: Training



Perzeptron-Algorithmus

Require: Let $T = \{(\mathbf{x}_1, y_1), \dots, (\mathbf{x}_n, y_n)\} \subset \mathbb{R}^d \times \{0, 1\}$ be the training set and $\eta > 0$.

- 1: Initialize the weights w_0, w_1, \dots, w_d with small random values.
- 2: **repeat**
- 3: **for** each training example $(\mathbf{x}_i, y_i) \in T$ **do**
- 4: Compute the predicted output $\hat{y}_i = h(a_i) = h(\sum_{j=0}^d w_j x_{i,j})$
- 5: **for** $j = 0, \dots, d$ **do**
- 6: Update weight $w_j \leftarrow w_j + \eta(y_i - \hat{y}_i)x_{i,j}$
- 7: **end for**
- 8: **end for**
- 9: **until** no mistakes are made anymore

■ Die Gewichte w_0, w_1, \dots, w_d werden angepasst, falls Vorhersage falsch war:

- 1 $y_i = 1$ und $\hat{y}_i = 0$: **Vergrößere** $a_i = \sum_{j=0}^d w_j x_{i,j}$, indem alle w_j mit $x_{i,j} > 0$ vergrößert und alle w_j mit $x_{i,j} < 0$ verkleinert werden.
- 2 $y_i = 0$ und $\hat{y}_i = 1$: **Verkleinere** $a_i = \sum_{j=0}^d w_j x_{i,j}$, indem alle w_j mit $x_{i,j} > 0$ verkleinert und alle w_j mit $x_{i,j} < 0$ vergrößert werden.

■ Der Parameter $\eta > 0$ wird **Lernrate** genannt (z.B. $\eta = 0.1$)

Falls die Datenpunkte linear trennbar sind, konvergiert dieser Algorithmus.

Perzeptron: Demo

jupyter Perceptron (Iris Dataset) Last Checkpoint: a few seconds ago (autosaved)



Logout

File Edit View Insert Cell Kernel Widgets Help

Trusted



Python 3

Code

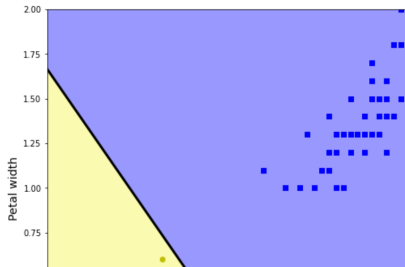
```
zz = y_predict.reshape(x0.shape)

plt.figure(figsize=(8, 8))
plt.plot(X[y==0, 0], X[y==0, 1], "bs", label="Not Iris-Setosa")
plt.plot(X[y==1, 0], X[y==1, 1], "yo", label="Iris-Setosa")

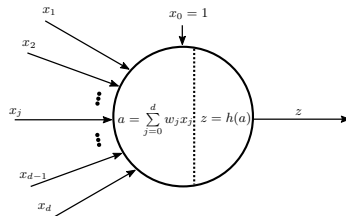
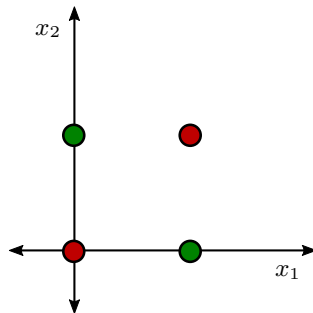
plt.plot([axes[0], axes[1]], [a * axes[0] + b, a * axes[1] + b], "k-", linewidth=3)
from matplotlib.colors import ListedColormap
custom_cmap = ListedColormap(['#9898ff', '#fafab0'])

plt.contourf(x0, x1, zz, cmap=custom_cmap)
plt.xlabel("Petal length", fontsize=14)
plt.ylabel("Petal width", fontsize=14)
plt.legend(loc="lower right", fontsize=14)
plt.axis(axes)
```

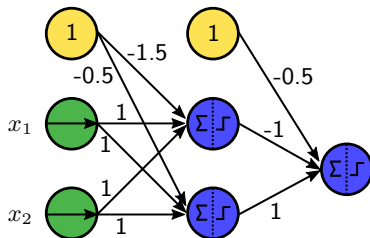
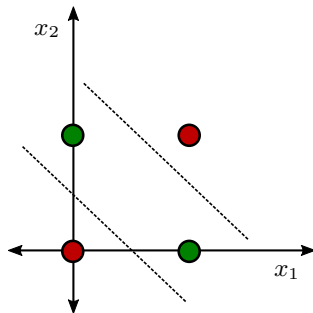
Out[4]: (0.0, 5.0, 0.0, 2.0)



Grenzen des Perzeptrons?



Idee: „Stapeln“ von Perzeptrons!



$$T = \{([0, 0]^T, 0), ([1, 1]^T, 0), ([0, 1]^T, 1), ([1, 0]^T, 1)\}$$

Übersicht

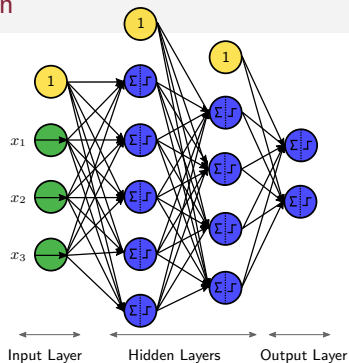
1 Perzeptron

2 Mehrschichtiges Perzeptron

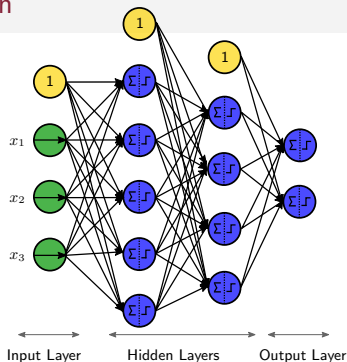
3 Implementation in Keras

4 Zusammenfassung

Multi-Layer Perzeptron



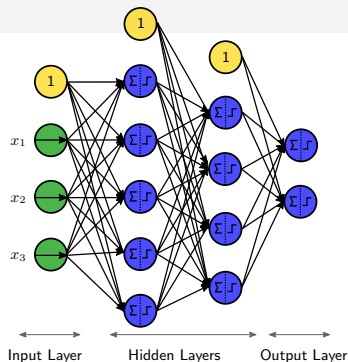
Multi-Layer Perzeptron



Mehrschichtige Modelle

- **Architektur:** Ein Multi-Layer Perzeptron (MLP) besteht aus einer **Eingabeschicht** (*input layer*), mehreren **versteckten Schichten** (*hidden layers*) und einer **Ausgabeschicht** (*output layer*).
- **Implizite Bias-Gewichte:** Bis auf die Ausgabeschicht verfügt jede Schicht über ein Bias-Gewicht (gelb; werden oft nicht explizit gezeigt).
- **Feed-Forward:** Eine Schicht ist immer nur mit höheren Schichten verbunden.

Ausgabe pro Schicht

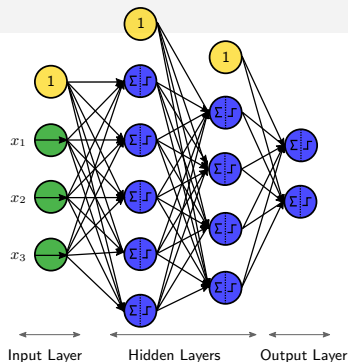


Notation

- Sei $l = 0, \dots, L$ eine Numerierung der Schichten ($l = 0$ entspricht Eingabeschicht). Für $l \geq 1$ bezeichne $\mathbf{x}^{(l)}$ die Eingabe und $\mathbf{h}^{(l)}$ die Ausgabe der Schicht l .
- Bezeichne $\mathbf{w}_i^{(l)}$ die Gewichte des i -ten Neurons in Schicht l und $b_i^{(l)}$ das Gewicht zum Bias-Neuron von Schicht l . Dann gilt

$$\mathbf{h}_i^{(l)} = h \left((\mathbf{w}_i^{(l)})^\top \mathbf{x}^{(l)} + b_i^{(l)} \right)$$

Ausgabe pro Schicht



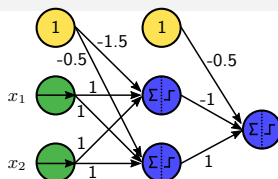
Notation

- Indem man nun alle $\mathbf{w}_i^{(l)}$ des Layers l zu einer Matrix $\mathbf{W}^{(l)}$ und alle Bias-Gewichte $b_i^{(l)}$ zu einem Vektor $\mathbf{b}^{(l)}$ zusammenfasst, erhält man:

$$\mathbf{h}^{(l)} = h \left(\mathbf{W}^{(l)} \mathbf{x}^{(l)} + \mathbf{b}^{(l)} \right)$$

Hierbei ist die Anwendung von h **elementweise** zu verstehen.

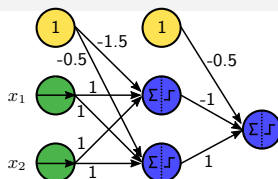
Ausgabe pro Schicht: Beispiel



Fragen: Wie viele Parameter besitzt das MLP?

Wie sehen $\mathbf{W}^{(l)}$, $\mathbf{b}^{(l)}$, $\mathbf{h}^{(l)}$ für $l = 1, 2$ aus?

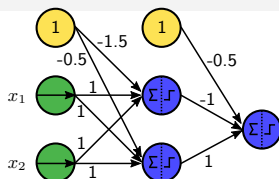
Ausgabe pro Schicht: Beispiel



- Für $l = 1$ erhalten wir: $\mathbf{W}^{(1)} = \begin{bmatrix} 1 & 1 \\ 1 & 1 \end{bmatrix}$ und $\mathbf{b}^{(1)} = \begin{bmatrix} -1.5 \\ -0.5 \end{bmatrix}$ und somit

$$\mathbf{h}^{(1)} = h \left(\begin{bmatrix} 1 & 1 \\ 1 & 1 \end{bmatrix} \begin{bmatrix} x_1^{(1)} \\ x_2^{(1)} \end{bmatrix} + \begin{bmatrix} -1.5 \\ -0.5 \end{bmatrix} \right)$$

Ausgabe pro Schicht: Beispiel



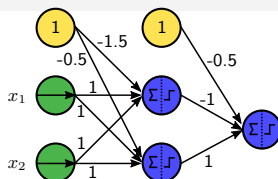
- Für $l = 1$ erhalten wir: $\mathbf{W}^{(1)} = \begin{bmatrix} 1 & 1 \\ 1 & 1 \end{bmatrix}$ und $\mathbf{b}^{(1)} = \begin{bmatrix} -1.5 \\ -0.5 \end{bmatrix}$ und somit

$$\mathbf{h}^{(1)} = h \left(\begin{bmatrix} 1 & 1 \\ 1 & 1 \end{bmatrix} \begin{bmatrix} x_1^{(1)} \\ x_2^{(1)} \end{bmatrix} + \begin{bmatrix} -1.5 \\ -0.5 \end{bmatrix} \right)$$

- Für $l = 2$ erhalten wir: $\mathbf{W}^{(2)} = \begin{bmatrix} -1 & 1 \end{bmatrix}$ und $\mathbf{b}^{(2)} = \begin{bmatrix} -0.5 \end{bmatrix}$ und somit

$$\mathbf{h}^{(2)} = h \left(\begin{bmatrix} -1 & 1 \end{bmatrix} \begin{bmatrix} x_1^{(2)} \\ x_2^{(2)} \end{bmatrix} + \begin{bmatrix} -0.5 \end{bmatrix} \right)$$

Ausgabe pro Schicht: Beispiel



- Für $l = 1$ erhalten wir: $\mathbf{W}^{(1)} = \begin{bmatrix} 1 & 1 \\ 1 & 1 \end{bmatrix}$ und $\mathbf{b}^{(1)} = \begin{bmatrix} -1.5 \\ -0.5 \end{bmatrix}$ und somit

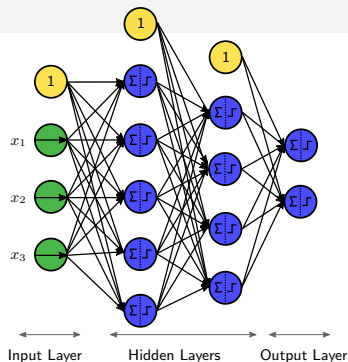
$$\mathbf{h}^{(1)} = h \left(\begin{bmatrix} 1 & 1 \\ 1 & 1 \end{bmatrix} \begin{bmatrix} x_1^{(1)} \\ x_2^{(1)} \end{bmatrix} + \begin{bmatrix} -1.5 \\ -0.5 \end{bmatrix} \right)$$

- Für $l = 2$ erhalten wir: $\mathbf{W}^{(2)} = \begin{bmatrix} -1 & 1 \end{bmatrix}$ und $\mathbf{b}^{(2)} = \begin{bmatrix} -0.5 \end{bmatrix}$ und somit

$$\mathbf{h}^{(2)} = h \left(\begin{bmatrix} -1 & 1 \end{bmatrix} \begin{bmatrix} x_1^{(2)} \\ x_2^{(2)} \end{bmatrix} + \begin{bmatrix} -0.5 \end{bmatrix} \right)$$

- Insgesamt 9 (trainierbare) Parameter.

Ausgabe des MLP



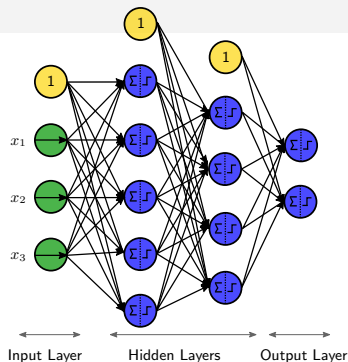
Forward Pass

Dies Ausgabe des Modells kann somit geschrieben werden als

$$\begin{aligned}
 f(\mathbf{x}; \mathbf{W}, \mathbf{b}) &= h\left(\mathbf{W}^{(L)}\mathbf{x}^{(L)} + \mathbf{b}^{(L)}\right) \\
 &= h\left(\mathbf{W}^{(L)}\left(h\left(\mathbf{W}^{(L-1)}\mathbf{x}^{(L-1)} + \mathbf{b}^{(L-1)}\right)\right) + \mathbf{b}^{(L)}\right) = \dots
 \end{aligned}$$

wobei \mathbf{W} und \mathbf{b} alle (normalen) Gewichte und Bias-Gewichte des MLP zusammenfassen.

Ausgabe des MLP



Forward Pass

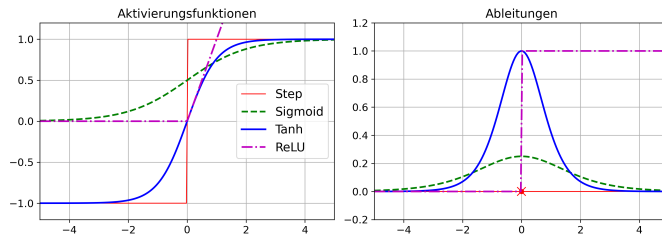
Dies Ausgabe des Modells kann somit geschrieben werden als

$$\begin{aligned}
 f(\mathbf{x}; \mathbf{W}, \mathbf{b}) &= h\left(\mathbf{W}^{(L)} \mathbf{x}^{(L)} + \mathbf{b}^{(L)}\right) \\
 &= h\left(\mathbf{W}^{(L)} \left(h\left(\mathbf{W}^{(L-1)} \mathbf{x}^{(L-1)} + \mathbf{b}^{(L-1)}\right)\right) + \mathbf{b}^{(L)}\right) = \dots
 \end{aligned}$$

wobei \mathbf{W} und \mathbf{b} alle (normalen) Gewichte und Bias-Gewichte des MLP zusammenfassen.

Frage: Warum ist die Funktion h wichtig?

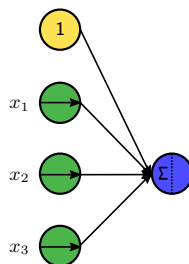
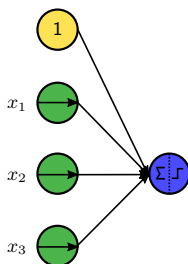
Multi-Layer Perzeptron: Aktivierungsfunktionen



Aktivierungsfunktion

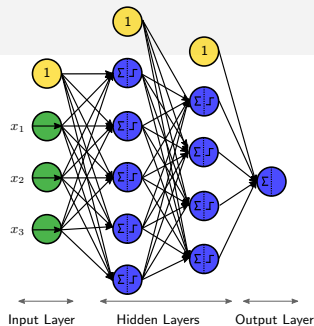
- Anstatt der Stufenfunktion h können auch andere **Aktivierungsfunktionen** betrachtet werden.
- Die Aktivierungsfunktionen müssen (fast überall) differenzierbar sein. Zudem ist eine Ableitung ungleich Null wichtig für das Trainieren der MLPs.

Was stellen diese MLPs dar?



Links: Sigmoid-Funktion σ als Aktivierungsfunktion; Rechts: Lineare Aktivierung $h(z) = z$.

Beispiel: Regression

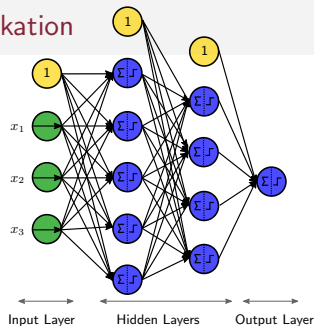


MLPs für Regression

- **Trainingsdaten:** $T = \{(\mathbf{x}_1, y_1), \dots, (\mathbf{x}_n, y_n)\} \subset \mathbb{R}^d \times \mathbb{R}$
- **Ausgabeschicht:** Im Allgemeinen **lineare** Aktivierungsfunktion $h_{out}(z) = z$ für das Neuron in der Ausgabeschicht.
- **Verlustfunktion:** Analog zur linearen Regression, z.B.

$$C(\mathbf{W}, \mathbf{b}) = \frac{1}{n} \sum_{i=1}^n (f(\mathbf{x}_i; \mathbf{W}, \mathbf{b}) - y_i)^2$$

Beispiel: Binäre Klassifikation

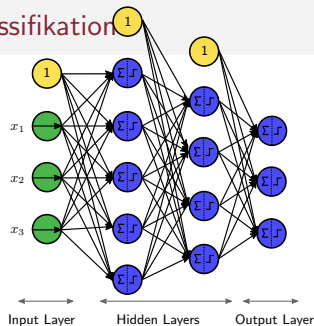


MLPs für binäre Klassifikation

- **Trainingsdaten:** $T = \{(\mathbf{x}_1, y_1), \dots, (\mathbf{x}_n, y_n)\} \subset \mathbb{R}^d \times \{0, 1\}$
- **Ausgabeschicht:** Im Allgemeinen **Sigmoid**-Aktivierungsfunktion $h_{out}(z) = \sigma(z)$ für das Neuron in der Ausgabeschicht.
- **Verlustfunktion:** Analog zur logistischen Regression, z.B.

$$C(\mathbf{W}, \mathbf{b}) = -\frac{1}{n} \sum_{i=1}^n y_i \log f(\mathbf{x}_i; \mathbf{W}, \mathbf{b}) + (1 - y_i) \log(1 - f(\mathbf{x}_i; \mathbf{W}, \mathbf{b}))$$

Beispiel: Multiclass-Klassifikation



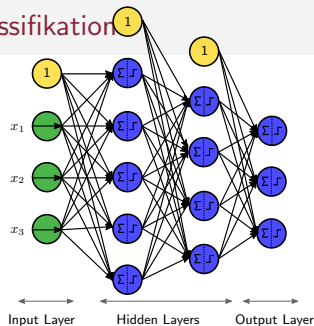
MLPs für Multiclass-Klassifikation

- **Trainingsdaten:** $T = \{(\mathbf{x}_1, y_1), \dots, (\mathbf{x}_n, y_n)\} \subset \mathbb{R}^d \times \{0, 1\}^K$
 - One-Hot Encoding: $y_i^{(j)} = 1$ falls \mathbf{x}_i zur j -ten Klasse gehört; sonst $y_i^{(j)} = 0$.
 - Beispiel: Gehört \mathbf{x}_i zur zweiten von $K = 3$ Klassen, so ist $\mathbf{y}_i = [0, 1, 0]^T$.
- **Ausgabeschicht:** Im Allgemeinen **Softmax**-Aktivierungsfunktion:

$$\hat{p}_k(\mathbf{a}) = \frac{\exp(a_k)}{\sum_{j=1}^K \exp(a_j)} \in [0, 1]$$

Hierbei enthält $\mathbf{a} \in \mathbb{R}^K$ die K Ausgabewerte **vor** der Aktivierung.

Beispiel: Multiclass-Klassifikation



MLPs für Multiclass-Klassifikation

- **Verlustfunktion:** Analog zur multinomialen logistischen Regression (Kreuzentropie):

$$C(\mathbf{W}, \mathbf{b}) = -\frac{1}{n} \sum_{i=1}^n \sum_{k=1}^K y_i^{(k)} \log(\hat{p}_k(\mathbf{a}_i))$$

Hierbei enthält $\mathbf{a}_i \in \mathbb{R}^K$ die K Ausgabewerte für \mathbf{x}_i vor der Aktivierung.

Multi-Layer Perzeptron: Training

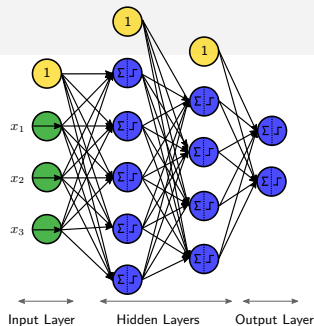
MLP (batch gradient descent)

Require: Training set $T = \{(\mathbf{x}_1, y_1), \dots, (\mathbf{x}_n, y_n)\} \subset \mathbb{R}^d \times \mathcal{Y}$, cost function C , and learning rate $\eta > 0$.

Ensure: Weights \mathbf{W} , \mathbf{b} for the model $f(\mathbf{x}; \mathbf{W}, \mathbf{b})$

- 1: // small random values (e.g., normally distributed)
- 2: Initialize \mathbf{W} and \mathbf{b}
- 3: **repeat**
- 4: // gradient of the cost function based on all training instances
- 5: Compute $\nabla C(\mathbf{W}, \mathbf{b})$
- 6: // model parameter update
- 7: $(\mathbf{W}, \mathbf{b}) \leftarrow (\mathbf{W}, \mathbf{b}) - \eta \nabla C(\mathbf{W}, \mathbf{b})$
- 8: **until** stopping criterion is met

Backpropagation

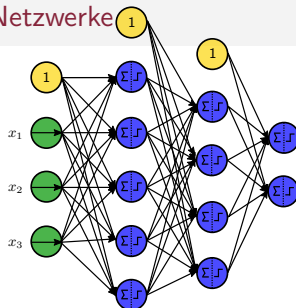


Bestimmung des Gradienten

- **Backpropagation:** Effiziente Methode zur Bestimmung von $\nabla C(\mathbf{W}, \mathbf{b})$.
(d.h. Bestimmung aller partiellen Ableitungen der Modellparameter)
 - 1 **Forward pass:** Berechnung von $f(\mathbf{x}_i; \mathbf{W}, \mathbf{b})$ für eine/mehrere Trainingsinstanz(en) \mathbf{x}_i .
 - 2 **Backward pass:** Berechnung von $\nabla C(\mathbf{W}, \mathbf{b})$ (mittels Kettenregel, d.h., die Ableitungen werden sukzessive von „hinten nach vorne“ bestimmt).
- **Automatic Differentiation (Autodiff):** Moderne Implementationen ermöglichen die automatische Bestimmung des Gradienten (z.B. auf Basis von Backpropagation).

Mehr dazu in den nächsten Vorlesungen ...

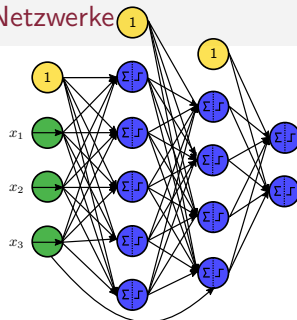
(Künstliche) Neuronale Netzwerke



Architektur

- Erweiterung von Multi-Layer Perceptrons
 - **Feed-Forward-Struktur:** Jedes Neuron in einer Schicht besitzt gerichtete Verbindungen zu den Neuronen in der darauffolgenden Schicht.

(Künstliche) Neuronale Netzwerke

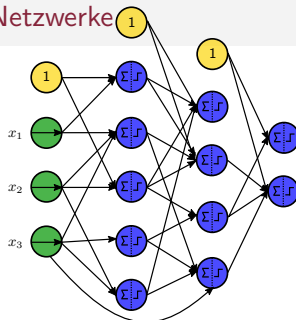


Architektur

■ Erweiterung von Multi-Layer Perceptrons

- ▶ **Feed-Forward-Struktur:** Jedes Neuron in einer Schicht besitzt gerichtete Verbindungen zu den Neuronen in der darauffolgenden Schicht.
- ▶ **Überspringen:** Weitere Verbindungen, welche Schichten „überspringen“.

(Künstliche) Neuronale Netzwerke

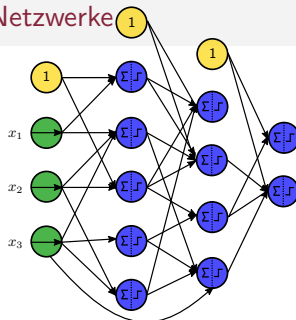


Architektur

■ Erweiterung von Multi-Layer Perceptrons

- ▶ **Feed-Forward-Struktur:** Jedes Neuron in einer Schicht besitzt gerichtete Verbindungen zu den Neuronen in der darauffolgenden Schicht.
- ▶ **Überspringen:** Weitere Verbindungen, welche Schichten „überspringen“.
- ▶ **Ausdünnung:** Weglassen von Verbindungen

(Künstliche) Neuronale Netzwerke



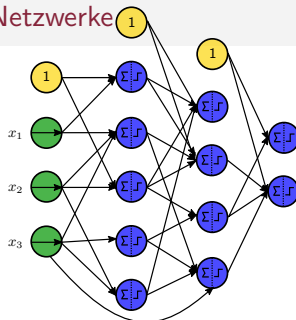
Architektur

■ Erweiterung von Multi-Layer Perceptrons

- ▶ **Feed-Forward-Struktur:** Jedes Neuron in einer Schicht besitzt gerichtete Verbindungen zu den Neuronen in der darauffolgenden Schicht.
- ▶ **Überspringen:** Weitere Verbindungen, welche Schichten „überspringen“.
- ▶ **Ausdünnung:** Weglassen von Verbindungen

→ Kantenstruktur entspricht einem gerichteten azyklischen Graphen

(Künstliche) Neuronale Netzwerke



Architektur

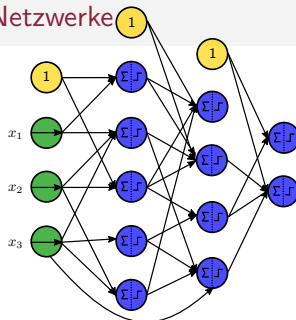
■ Erweiterung von Multi-Layer Perceptrons

- ▶ **Feed-Forward-Struktur:** Jedes Neuron in einer Schicht besitzt gerichtete Verbindungen zu den Neuronen in der darauffolgenden Schicht.
- ▶ **Überspringen:** Weitere Verbindungen, welche Schichten „überspringen“.
- ▶ **Ausdünnung:** Weglassen von Verbindungen

→ Kantenstruktur entspricht einem gerichteten azyklischen Graphen

■ Varianten: Z.B. sogenannte rekurrente Netzwerke

(Künstliche) Neuronale Netzwerke



Architektur

■ Erweiterung von Multi-Layer Perceptrons

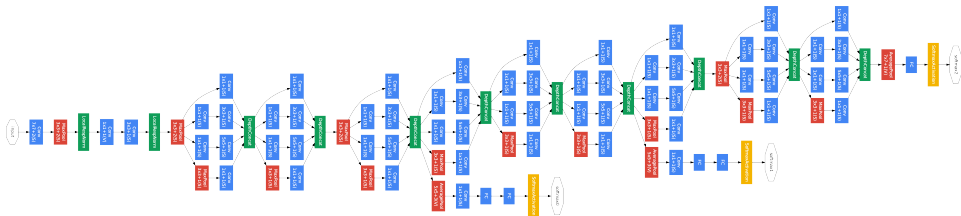
- ▶ **Feed-Forward-Struktur:** Jedes Neuron in einer Schicht besitzt gerichtete Verbindungen zu den Neuronen in der darauffolgenden Schicht.
- ▶ **Überspringen:** Weitere Verbindungen, welche Schichten „überspringen“.
- ▶ **Ausdünnung:** Weglassen von Verbindungen

→ Kantenstruktur entspricht einem gerichteten azyklischen Graphen

■ Varianten: Z.B. sogenannte rekurrente Netzwerke

■ Allgemein: Kombinationen aus „differenzierbaren“ Blöcken/Gates

Kombinationen aus „differenzierbaren“ Blöcken/Gates



Christian Szegedy, Wei Liu, Yangqing Jia, Pierre Sermanet, Scott Reed, Dragomir Anguelov, Dumitru Erhan, Vincent Vanhoucke und Andrew Rabinovich. *Going Deeper with Convolutions*. Proceedings of the IEEE Conference on Computer Vision and Pattern Recognition, 2015.

Übersicht

1 Perzeptron

2 Mehrschichtiges Perzeptron

3 Implementation in Keras

4 Zusammenfassung

Übersicht

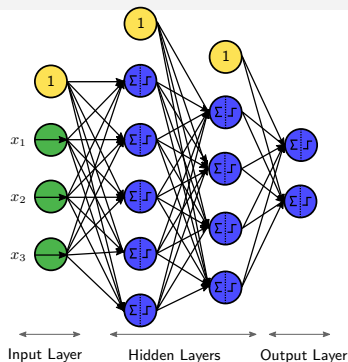
1 Perzeptron

2 Mehrschichtiges Perzeptron

3 Implementation in Keras

4 Zusammenfassung

Zusammenfassung & Ausblick



- **Heute:** Perzeptrons, Multi-Layer Perzeptrons, Gradientverfahren für MLPs, Implementation in Keras, ...
- **Mittwoch:** Neuronale Netzwerke II (Kapitel 10 + Backpropagation + ...)

Literatur I

- [Gér19] Aurélien Géron.
Hands-On Machine Learning with Scikit-Learn, Keras, and TensorFlow.
O'Reilly Media, 2 edition, 2019.